

SIMULASI TUNING SISTEM KENDALI PID QUADROTOR MENGUNAKAN ALGORITMA GENETIKA

Nasra Pratama Putra¹, Fransiskus Xaverius Manggau²

Email: nasrapratama@unmus.ac.id , fransiskus@unmus.ac.id

Jurusan Sistem Informasi, Fakultas Teknik

Universitas Musamus

ABSTRAK

Sistem kendali dibutuhkan quadrotor agar dapat melayang mendekati keadaan stasioner. Salah satu sistem kendali yang dapat dirancang dan diimplementasikan pada quadrotor adalah kendali PID. Metode tradisional yang populer untuk kendali PID adalah menggunakan *Ziegler Nichol*. Kelemahan metode tersebut sering menghasilkan gelombang overshoot tinggi. Di sisi lain, beberapa pendekatan *intelligence* juga diusulkan untuk meningkatkan hasil tuning tradisional PID seperti menggunakan optimalisasi *heuristic*.

Optimalisasi *heuristic* merupakan sebuah teknik pencarian solusi terbaik dalam dunia komputasi dengan ketetapan yaitu tidak memiliki batasan dalam mencapai nilai optimal suatu parameter tertentu. Salah satu metode yang termasuk dalam optimalisasi *heuristic* adalah Algoritma Genetika. *Tuning* PID menggunakan simulasi berbasis Algoritma Genetika dapat mempercepat proses pencarian konstanta PID yang optimal. Parameter-parameter yang digunakan pada simulasi ini yaitu massa, panjang lengan, radius, torsi motor, dan kecepatan motor. Beberapa asumsi yang diterapkan dalam melakukan simulasi dari quadrotor ini yaitu, struktur dari quadrotor dianggap kaku, struktur dari quadrotor dianggap simetris, titik berat beban quadrotor diasumsikan berada tepat di tengah (pusat massa) quadrotor, dan efek getaran masing-masing propeller dianggap tidak terjadi.

Hasil perhitungan simulasi sistem menggunakan Algoritma Genetika didapatkan konstanta PID yang optimal yaitu K_p bernilai 0.0996, K_i bernilai 0.001 dan K_d bernilai 0.0289. memiliki nilai maksimum peak yaitu 3,57 derajat. Artinya quadrotor akan stabil melayang dengan tetap dapat menjaga sudut kemiringan tidak lebih dari 3,88 derajat. Nilai *settling time* yang didapat pada kondisi tersebut adalah 1,54 detik. Artinya tingkat kemiringan sudut akan mengalami penurunan hingga menuju keadaan stasioner dengan waktu tempuh sekitar 1,54 detik. Jumlah generasi untuk mencapai kondisi tersebut adalah sekitar 26 generasi. Waktu eksekusi simulasi untuk kondisi tersebut adalah 494 detik.

Kata Kunci: Quadrotor, PID, Algoritma Genetika

¹ Dosen Jurusan Teknik Sistem Informasi, Universitas Musamus Merauke

² Dosen Jurusan Teknik Informatika, Universitas Musamus Merauke

PENDAHULUAN

Quadrotor atau sering disebut juga *quadcopter* merupakan jenis *Unmanned Aerial Vehicle* (UAV) yang terbang dengan menggunakan empat motor dan empat buah propeller pada masing-masing lengannya (Dharmawan dan Putera, 2012). Gerakan *quadrotor* dihasilkan dengan menggunakan gaya dorong dari perputaran tiap motor. Pergerakan tersebut diatur oleh sistem kontrol *attitude*. Untuk menghasilkan *attitude* yang baik, diperlukan aturan pengendali yang benar dan pemodelan sistem. Dua metode yang berbeda telah diketahui untuk mencapai dinamika *quadrotor* yakni persamaan Lagrange dan hukum II Newton (Dharmawan dkk., 2014). Hasil pemodelan dinamika *quadrotor* secara langsung dipengaruhi oleh sinyal masukan, sehingga dibutuhkan aturan sistem kendali lebih lanjut agar dapat menghasilkan kondisi *output* yang sesuai dengan kondisi *plant*. Salah satu sistem kendali yang dapat dirancang dan diimplementasikan pada *quadrotor* adalah kendali PID (Bouabdallah dkk., 2004).

Kendali PID memiliki eektivitas yang luar biasa, ketahanan yang kuat dan kesederhanaan implementasi. Terdapat 3 buah *gain* yang bekerja pada *error* yaitu K_p , K_i , dan K_d . Pemilihan nilai K_p , K_i , dan

K_d sangat mempengaruhi tingkat optimal dari kendali PID (Priyambodo dkk., 2015). Ketika seluruh nilai konstanta PID tidak tepat, maka akan menghasilkan respon sistem yang menyimpang dari hasil yang diinginkan. Untuk itu dibutuhkan metode *tuning* K_p , K_i , dan K_d yang akurat untuk mendapatkan respon sistem yang sesuai. Terdapat dua metode *tuning* PID, yaitu menggunakan pendekatan tradisional dan *intelligence*. Metode tradisional yang populer adalah menggunakan *Ziegler Nichol*. Di sisi lain, beberapa pendekatan *intelligence* juga diusulkan untuk meningkatkan hasil *tuning* tradisional PID seperti menggunakan optimalisasi berbasis evolusi alam (*Evolutionary Computation*).

Evolutionary Computation merupakan metode yang meniru cara kerja teori evolusi Charles Darwin yaitu "*Survival of the fittest*". (Sivanandam dan Deepa, 2008). Salah satu metode yang termasuk dalam *evolutionary computation* adalah Algoritma Genetika. Algoritma Genetika merupakan metode yang menerapkan teknik optimasi berbasis evolusi alam yaitu melalui proses mutasi, pindah silang dan seleksi (Jones dan de Moura Oliveira, 1995). Pada kasus sistem kendali PID, ketiga nilai dari parameter PID yang tidak diketahui yaitu K_p , K_i , dan K_d

dikodekan sebagai sebuah kromosom dalam bentuk kode biner. Kode biner tersebut dievaluasi dengan suatu fungsi objektif berdasarkan biaya dalam *time domain*. Nilai *cost* yang dianggap memiliki *fitness* tertinggi akan dipilih sebagai kromosom terbaik. Kromosom yang mampu bertahan hingga akhir generasi dikodekan kembali menjadi konstanta K_p , K_i dan K_d yang optimal.

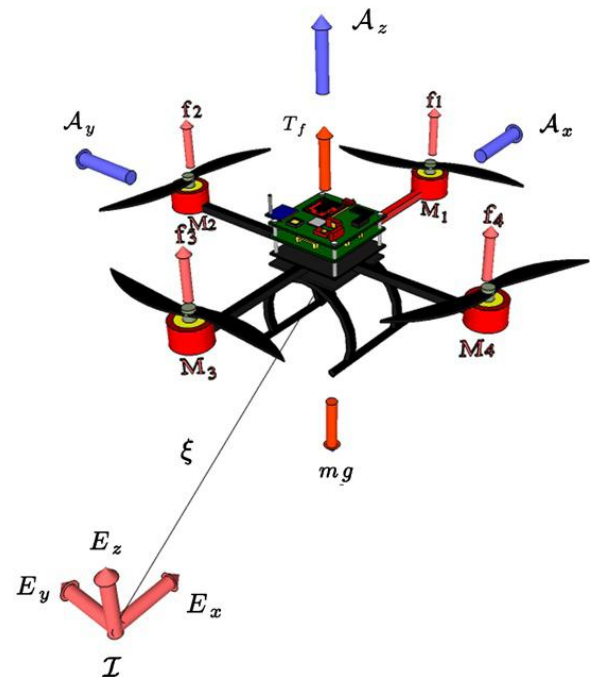
TINJAUAN PUSTAKA

1. Analisis Pemodelan

Quadrotor merupakan kendaraan tanpa awak dengan menggunakan empat buah rotor agar mampu terbang. Quadrotor menempatkan keempat buah motor pada sisi lengan dengan jarak dari titik tengah sudah ditentukan. Quadrotor tipe plus (+) baling-baling memiliki arah putaran sama diletakkan bersebrangan. Motor 1 dan 3 memiliki arah putaran *clockwise*, sedangkan motor 2 dan 4 memiliki arah putaran *counter clockwise*.

Kombinasi dari gerak translasi dan rotasi merupakan gerakan dasar quadrotor di udara. Berdasarkan Gambar 1, maka didefinisikan I sebagai *earth fix frame* dan A sebagai *body fix frame*. Pusat massa dan

body fix frame diasumsikan bertepatan. Dengan menggunakan parameter sudut *euler*, orientasi *quadrotor* di udara didapat dari rotasi R dari A ke I , dimana $R \in SO(3)$ yang merupakan rotasi matrix. f_i mewakili *thrust* dari motor ke i dan T_f adalah *main thrust*.



Gambar 1 Quadrotor Inersia Frame

Menggunakan pendekatan *Newton-Euler*, dinamika dari *quadrotor* dinyatakan pada persamaan (1) (2) (3) (4)

$$\dot{\xi} = v \quad (1)$$

$$m\dot{v} = f \quad (2)$$

$$\dot{R} = R\Omega \quad (3)$$

$$I\dot{\Omega} = -\Omega \times I\Omega + \tau \quad (4)$$

Dimana $\xi = (x, y, z)^T$ yang menunjukkan posisi dari pusat massa dari *quadrotor* sama dengan pusat I . $v \in I$ menunjukkan kecepatan linear

dinyatakan dalam kerangka inersia. $\Omega \in A$ menunjukkan kecepatan sudut dari badan *quadrotor* yang dinyatakan dalam *body fix frame*. m melambangkan massa dari body kaku. $I \in R^{3 \times 3}$ menunjukkan matriks inersia konstan di sekitar pusat massa. $f \in I$ merupakan vector dari gaya tidak tetap pada objek, termasuk *thrust Tf* dan gesekan pada rotor. $\tau \in A$ merupakan perbedaan *thrust* antar rotor dengan efek aerodinamik dan gyroscopic.

Momen inersia *quadrotor* dinyatakan pada persamaan (5) (6) (7).

$$I_{xx} = \frac{mr^2}{4} + \frac{mh^2}{6} + 2mr^2 + \frac{MR^2}{4} + \frac{MH^2}{12} \quad (5)$$

$$I_{yy} = \frac{mr^2}{4} + \frac{mh^2}{6} + 2mr^2 + \frac{MR^2}{4} + \frac{MH^2}{12} \quad (6)$$

$$I_{zz} = \frac{MR^2}{2} + 4mr^2 \quad (7)$$

M adalah massa kotak tengah *quadrotor*, m adalah massa motor *brushless*, R adalah jarak antara ujung bagian tengah *quadrotor* ke pusat massa, r adalah jari-jari motor *brushless*, h adalah tinggi motor *brushless*, H adalah tinggi bagian tengah *quadrotor*, dan l adalah panjang antara ujung *quadrotor* ke pusat massa.

Persamaan akhir untuk percepatan sudut $\ddot{\phi}$, $\ddot{\theta}$, dan $\ddot{\psi}$ dilinearisasi berdasarkan keadaan melayang dinyatakan pada persamaan(8) (9) (10).

$$\frac{\phi(s)}{F(s)} = \frac{l}{I_{xx}s^2} \quad (8)$$

$$\frac{\theta(s)}{F(s)} = \frac{l}{I_{yy}s^2} \quad (9)$$

$$\frac{\psi(s)}{F(s)} = \frac{l}{I_{zz}s^2} \quad (10)$$

2. Penentuan Fugsi Transfer

$G_{PID}(s)$ merupakan PID *Controller* domain Laplace, $G_x(s)$ merupakan fungsi transfer pada sudut *roll*, $G_y(z)$ merupakan fungsi transfer pada sudut *pitch*, dan $G_z(s)$ merupakan fungsi transfer pada sudut *yaw*. Ketiga blok diagram di atas dapat disederhanakan menggunakan aturan *unityfeedback*. Untuk sumbu x disederhanakan menjadi $G_{xuf}(s)$ yang dijabarkan dalam persamaan (11) dan persamaan (12).

$$G_{xuf}(s) = \frac{G_{PID\phi}(s)G_x(s)}{1 + G_{PID\phi}(s)G_x(s)} \quad (11)$$

$$G_{xuf}(s) = \frac{K_{D\phi}ls^2 + K_{P\phi}ls + K_{i\phi}l}{I_{xx}s^2 + K_{D\phi}ls^2 + K_{P\phi}ls + K_{i\phi}l} \quad (12)$$

Untuk sumbu y disederhanakan menjadi $G_{yuf}(s)$ yang dijabarkan dalam persamaan (13) dan persamaan (14).

$$G_{yuf}(s) = \frac{G_{PID\theta}(s)G_y(s)}{1 + G_{PID\theta}(s)G_y(s)} \quad (13)$$

$$G_{yuf}(s) = \frac{K_{D\theta}ls^2 + K_{P\theta}ls + K_{i\theta}l}{I_{yy}s^2 + K_{D\theta}ls^2 + K_{P\theta}ls + K_{i\theta}l} \quad (14)$$

Untuk sumbu z disederhanakan menjadi $G_{zuf}(s)$ yang dijabarkan dalam persamaan (15) dan persamaan(16).

$$G_{zuf}(s) = \frac{G_{PID\psi}(s)G_z(s)}{1 + G_{PID\psi}(s)G_z(s)} \quad (15)$$

$$G_{zuf}(s) = \frac{K_{D\psi}ls^2 + K_{P\psi}ls + K_{i\psi}l}{I_{zz}s^2 + K_{D\psi}ls^2 + K_{P\psi}ls + K_{i\psi}l} \quad (16)$$

Dari ketiga fungsi transfer *unityfeedback* di atas diharapkan kombinasi yang tepat antara Kp, Ki, Kd dapat meminimalkan nilai *peak* dan *settling time*.

3. Komponen Quadrotor

Simulasi quadrotor dapat dibangun dengan memperhatikan data-data dari komponen yang akan digunakan. Beberapa komponen utama dalam menyusun sebuah simulasi *quadrotor* terdapat pada Tabel 1.

Tabel 1. Komponen quadrotor

| No. | Nama | Jumlah |
|-----|--|--------|
| 1. | <i>Brushless motor</i> | 4 |
| 2. | <i>Electronic Speed Controller (ESC)</i> | 4 |
| 3. | Kerangka <i>quadrotor</i> | 1 |
| 4. | <i>Arduino Due</i> | 1 |
| 5. | Baterai <i>LiPo</i> | 1 |
| 6. | <i>Sensor Accelerometer</i> | 1 |
| 7. | <i>Sensor Gyroscope</i> | 1 |
| 8. | <i>Sensor Magnetometer</i> | 1 |
| 9. | <i>Propeller</i> | 4 |
| 10. | Modul RF | 1 |
| 11. | Sensor <i>Ultrasonic Range</i> | 1 |

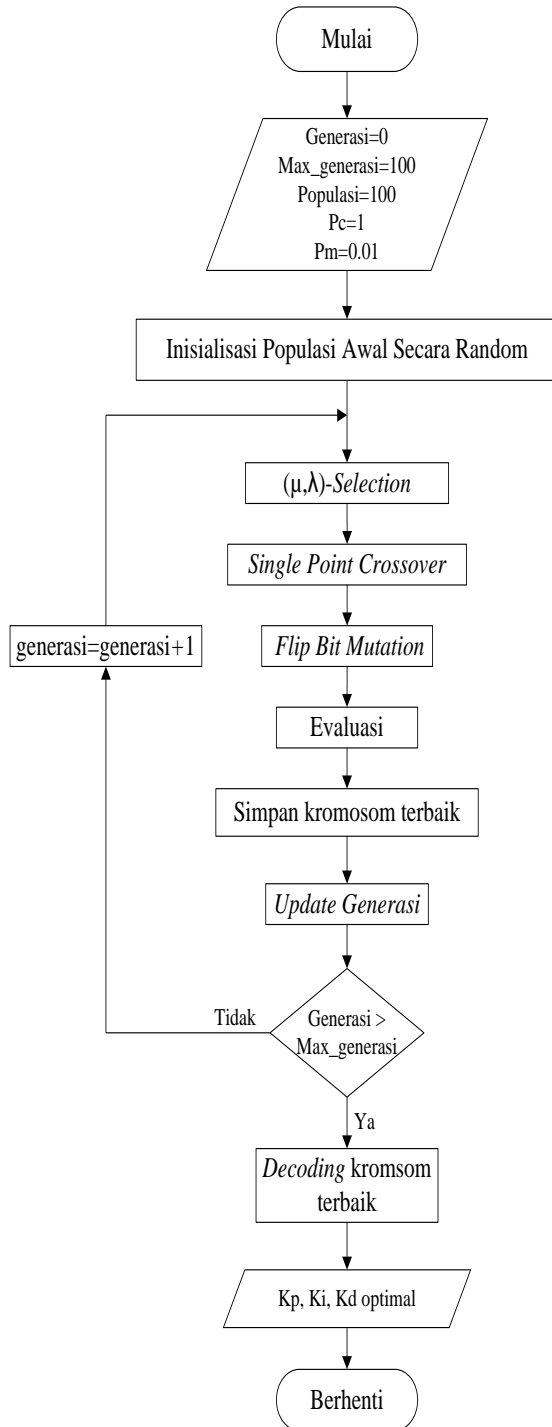
4. Algoritma Genetika

Algoritma genetika atau *Genetic Algorithm* (GA) merupakan metode optimasi dan teknik pencarian yang menerapkan prinsip genetik dan seleksi alamiah. *Algoritma Genetika* pertama kali diperkenalkan oleh John Holland pada tahun 1975 dalam bukunya "*Adaptation in natural and artificial systems*" (Saad dkk., 2012).

Terdapat dua jenis transformasi. *Mutation* merupakan proses transformasi untuk menciptakan individu baru dengan melakukan perubahan pada satu individu. Sedangkan *crossover* merupakan proses transformasi untuk menciptakan individu baru dengan menggabungkan bagian-bagian dari dua individu. Setelah melalui tahapan transformasi, maka dilakukan evaluasi terhadap beberapa individu baru yang disebut anak atau keturunan C(t).

Sebuah populasi baru dapat terbentuk dengan melakukan proses seleksi. Seleksi bertujuan untuk memilih individu dari populasi induk dan populasi anak berdasarkan nilai *fitness*. Setelah melalui beberapa generasi, akan ditemukan individu terbaik. Individu terbaik dapat dikatakan sebagai solusi optimal atau suboptimal untuk masalah yang sedang dihadapi. Berikut adalah tahapan-tahapan dalam

simulasi *tunning* PID menggunakan Algoritma Genetika.



Gambar 2. Flowchart *tunning* PID menggunakan Algoritma Genetika

METODOLOGI PENELITIAN

Metode penelitian yang digunakan menggunakan Algoritma Genetika dengan mengacu pada konsep SDLC, dengan tahapan antara lain:

1. Analisis Sistem

Pada tahap ini dilakukan analisis terhadap model quadrotor yang akan digunakan. Merumuskan kembali persamaan sudut dan fungsi transfer PID yang telah dilinierisasi berdasarkan keadaan melayang dari quadrotor.

2. Spesifikasi Kebutuhan Sistem

Dalam rangka membangun simulasi, tentu dibutuhkan beberapa nilai komponen dari quadrotor. Beberapa komponen quadrotor yang digunakan dijabarkan pada Tabel 1.

3. Perancangan simulasi

Perancangan simulasi dibangun dengan menggunakan Metode Algoritma Genetika. Beberapa tahapan utama dari Algoritma Genetika seperti inisialisasi, seleksi, mutasi dan evaluasi dijabarkan pada Gambar 2. Untuk jumlah sampling pencarian nilai terbaik dilakukan dengan menggunakan ukuran generasi sebanyak 100 kali. Penentuan nilai terbaik ditentukan berdasarkan ukuran *fitness* yang paling bugur. Nilai *Fitness* didapat melalui fungsi objektif. Pada penelitian ini, fungsi objektif didapat dengan mencari nilai

terkecil dari penjumlahan *overshoot*, *rise time*, dan *settling time* dari setiap individu.

4. Implementasi dan Pengujian Sistem

Simulasi sistem dibangun dengan menggunakan data awal yang diperoleh melalui perhitungan PID konvensional *Ziegler Nichols*. Software yang digunakan untuk membangun simulasi adalah Matlab 2013. Pada proses pengujian, nilai ambang atas dan bawah dari variable P, I, dan D dapat dipersempit dan diperluas guna menemukan nilai fitness yang paling sesuai.

```
1 t=0;
2 %inisialisasi populasi awal
3 a_kp=0.125;
4 a_ki=0.075;
5 a_kd=0.075;
6 b_kp=0.075;
7 b_ki=0.001;
8 b_kd=0.001;
9 presisi=3;
10 L_kp=ceil(log2(((a_kp-
b_kp)*(10^presisi))+1));
11 L_ki=ceil(log2(((a_ki-
b_ki)*(10^presisi))+1));
12 L_kd=ceil(log2(((a_kd-
b_kd)*(10^presisi))+1));
13 L=L_kp+L_ki+L_kd;
14 Npop=50;
15 Niter=100;
16 pc=1;
17 pm=0.01;
18 Nmut=ceil(pm*(Npop-1)*L);
populasi = round(rand(Npop,L));
```

Gambar 3 Kode program Inisialisasi

HASIL DAN PEMBAHASAN

1. Implementasi Simulasi

Tahap awal adalah memasukan parameter yang berpengaruh terhadap fungsi transfer. Kode program Matlab untuk melakukan insialisasi parameter awal ditunjukkan pada Gambar 3.

Setelah dilakukan inisialisasi parameter awal, maka dibentuklah populasi awal. Pada penelitian ini populasi awal dibentuk dari kumpulan kode biner sepanjang L, dan sebanyak jumlah populasi.

Proses *selection* digunakan untuk mencari nilai-nilai *fitness* yang tertinggi untuk dijadikan sebagai *parent* pada proses evolusi. Metode *selection* pada penelitian ini menggunakan metode seleksi (μ, λ) . Metode ini dimulai dengan melakukan pengurutan individu dalam populasi berdasarkan besar nilai *fitness*.

Individu dengan nilai *fitness* tertinggi akan menempati urutan pertama dalam populasi *matting poll*. Jumlah terbanyak kromosom (induk) yang

diperbolehkan melakukan reproduksi sejumlah setengah ukuran populasi. Kode program Matlab untuk melakukan proses *selection* ditunjukkan pada Gambar 4.

```
%SELECTION
1 mattingpoll=[];
2 indfit=[];
3 [fitness,indfit]=sort(fitness,'
  descend');
4 mattingpoll
  =populasi((indfit(1:size(popula
    si,1)/2)),:);
```

Gambar 4 Kode program (μ,λ) -Selection

Setelah populasi mengalami proses *selection*, maka tahapan selanjutnya adalah melakukan proses *crossover*. Proses *crossover* dimulai dengan membangkitkan bilangan acak r dalam rentang $[0..1]$. Jika $r < P_c$, maka individu tersebut diperbolehkan melakukan proses reproduksi. Untuk setiap individu yang terpilih, dilakukan proses *Single Point Crossover*.

Proses *Single Point Crossover* dilakukan dengan cara memilih satu titik secara acak pada kromosom individu. Kemudian individu yang telah terpilih dapat melakukan pertukaran gen terhadap individu terpilih berikutnya. Kode program Matlab untuk proses *crossover* ditunjukkan pada Gambar 5.

```
%Reproduksi
1 parent=[];
2 j=1;
3 for k=1:size(mattingpoll,1)
4 rk=rand();
5 if rk<pc
6 parent(j)=k;
7 j=j+1;
8 end
9 end
%crossover
10 offspring=[];
11 for ic=1:2:length(parent)
12 if ic>=length(parent)
13 break;
14 else
15 cross=ceil((L-1)*rand());
16 offspring(ic,1:cross)=matting
  poll(parent(ic),1:cross);
17 offspring(ic,cross+1:L)=matti
  ngpoll(parent(ic+1),cross+1:L
  );
18 offspring(ic+1,1:cross)=matti
  ngpoll(parent(ic+1),1:cross);
19
  offspring(ic+1,cross+1:L)=mat
  tingpoll(parent(ic),cross+1:L
  );
20
  end
21
  end
22
```

Gambar 5 Kode program *Single Point Crossover*

Setelah populasi mengalami proses *crossover*, maka tahapan selanjutnya adalah melakukan proses *mutation*. Proses *mutation* yang akan digunakan adalah *mutation flib bit*, dimana merubah nilai 1 menjadi 0 dan 0 menjadi 1. Kode program Matlab untuk *mutation* ditunjukkan pada Gambar 6.


```
%MUTATION
1. Nofspr= size(offspring,1);
2. for im=1:Nmuts
3. ix=ceil(size(mattingpoll,1)*rand);
4. iy=ceil(L*rand);
5. offspring(Nofspr+im,:)=mattingpoll(ix,:);
6. offspring(Nofspr+im,iy)=1-offspring(Nofspr+im,iy);
7. end
```

Gambar 6 Kode program *mutation* biner

Setelah didapat kromosom keturunan hasil dari proses *crossover* dan *mutation*, maka langkah selanjutnya adalah evaluasi. Setiap kromosom anak tersebut diubah kedalam bentuk *fenotype*, yaitu dalam bentuk nilai riil.

Setiap kromosom yang telah diketahui nilai K_p , K_i , dan K_d dalam bentuk desimal akan dimasukkan ke dalam fungsi transfer. *GC* merupakan *gain* dari sistem kontrol PID. *G_{YD}* merupakan *disturbance* dari sistem, yaitu sebesar fungsi transfer dibagi dengan *gain* kontrol. Selisih fungsi transfer dengan *disturbance* pada sudut *pitch*, sudut *roll*, dan sudut *yaw* disesuaikan dengan persamaan (12), (14), dan (16). Sedangkan untuk nilai maksimum *peak* dari sistem dengan menggunakan fungsi *impulse*. *Settling Time* didapat dari waktu yang dibutuhkan oleh respon dalam mencapai nilai stabil, yaitu waktu yang dibutuhkan sinyal PID untuk kembali ke titik nol setelah menerima gangguan.

Setelah diketahui *fitness* kromosom anak yang akan menjadi induk pada generasi selanjutnya, maka tahapan selanjutnya adalah melakukan proses *update generation*. Proses *update generation* akan memastikan kromosom anak kembali ke populasi dan menggantikan kromosom induk yang memiliki *fitness* terendah pada generasi sebelumnya. Untuk hal itu perlu dilakukan seleksi terhadap kromosom induk yang bertahan, dan sisanya akan langsung digantikan oleh kromosom anak hasil proses seleksi (μ, λ). Kode program Matlab untuk melakukan proses *update generation* ditunjukkan pada Gambar 7.

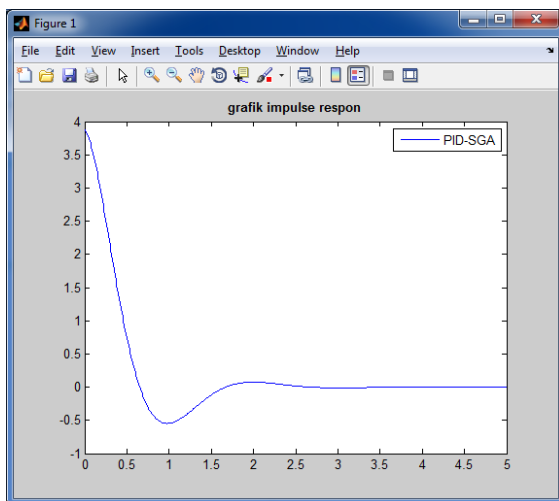
```
%sort fitness offspring terbaik
1 [fitness,indoff]=sort(fitness,'descend');
%update generasi
2 j=1;
3 for
4 i=(size(populasi,1)/2)+1:size(populasi,1)
5 populasi(indfit(i),:)=offspring(indoff(j),:);
6 j=j+1;
7 end
```

Gambar 7 Kode program *update generation*

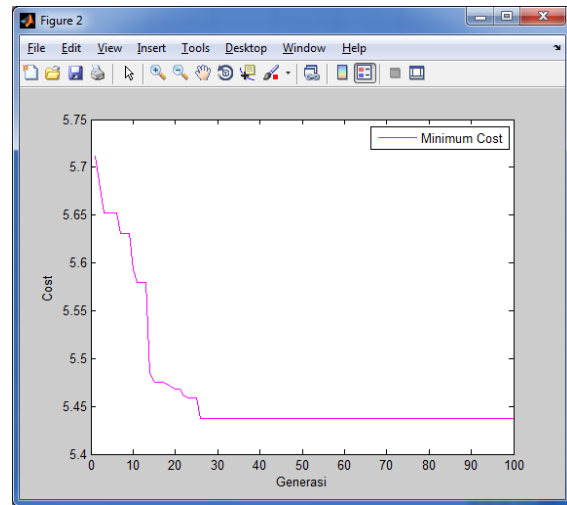
2. Pengujian Simulasi

Hasil simulasi *tunning* menunjukkan Ketika K_p bernilai 0.0996, K_i bernilai 0.001 dan K_d bernilai 0.0289

memiliki nilai maksimum *peak* yaitu 3,57 derajat. Artinya *quadrotor* akan stabil melayang dengan tetap dapat menjaga sudut kemiringan tidak lebih dari 3,88 derajat. Nilai *settling time* yang didapat pada kondisi tersebut adalah 1,54 detik. Artinya tingkat kemiringan sudut akan mengalami penurunan hingga menuju keadaan stationer dengan waktu tempuh sekitar 1,54 detik. Jumlah generasi untuk mencapai kondisi tersebut adalah sekitar 26 generasi. Waktu eksekusi simulasi untuk kondisi tersebut adalah 494 detik. *Impulse response* sudut *pitch* dan *roll* beserta *progress tuning* tiap generasi ditunjukkan oleh Gambar 7 dan Gambar 8.



Gambar 7 *Impulse response* hasil *tunning* PID dengan Algoritma Genetika



Gambar 8 Minimum *cost* tiap generasi dengan Algoritma Genetika

PENUTUP

1. Kesimpulan

Berdasarkan hasil perhitungan dan simulasi maka diambil kesimpulan bahwa telah berhasil dibuat simulasi *tunning* sistem kendali PID menggunakan Algoritma Genetika pada sebuah *quadcopter* yang ideal, dimana tidak dipengaruhi oleh efek aerodinamis dan efek giroskopik.

Sedangkan untuk jumlah generasi dalam mencapai kondisi tersebut adalah sekitar 26 generasi dari total 100 generasi sehingga waktu eksekusi simulasi untuk kondisi tersebut hanya memakan waktu 494 detik.

2. Saran

Nilai K_p , K_i , dan K_d hasil *tunning* dengan menggunakan simulasi perlu

dilakukan perbandingan kembali pada kondisi yang sesungguhnya untuk menemukan faktor-faktor lain yang dapat menyebabkan perbedaan hasil.

DAFTAR PUSTAKA

1. Dharmawan, A. dan Putera, C.A.L., 2012. Purwarupa Sistem Integrasi Quadcopter dan Mobile Robot. *IJEIS - Indonesian Journal of Electronics and Instrumentation Systems*, **2**: 97–108.
2. Dharmawan, A., Simanungkalit, Y.Y., dan Megawati, N.Y., 2014. Pemodelan Sistem Kendali PID pada Quadcopter dengan Metode Euler Lagrange. *IJEIS - Indonesian Journal of Electronics and Instrumentation Systems*, **4**: 13–24.
3. Bouabdallah, S., Noth, A., dan Siegwart, R., 2004. 'PID vs LQ control techniques applied to an indoor micro quadrotor', dalam: *2004 IEEE/RSJ International Conference on Intelligent Robots and Systems, 2004. (IROS 2004). Proceedings*. Dipresentasikan pada 2004 IEEE/RSJ International Conference on Intelligent Robots and Systems, 2004. (IROS 2004). *Proceedings*, hal. 2451–2456 vol.3.
4. Priyambodo, T.K., Putra, A.E., dan Dharmawan, A., 2015. 'Optimizing control based on ant colony logic for Quadrotor stabilization', dalam: *2015 IEEE International Conference on Aerospace Electronics and Remote Sensing Technology (ICARES)*. Dipresentasikan pada 2015 IEEE International Conference on Aerospace Electronics and Remote Sensing Technology (ICARES), hal. 1–4.
5. Sivanandam, S.N. dan Deepa, S.N., 2008. *Introduction to Genetic Algorithms*. Springer Berlin Heidelberg, Berlin, Heidelberg.
6. Jones, A.H. dan de Moura Oliveira, P.B., 1995. 'Genetic auto-tuning of PID controllers', dalam: *Genetic Algorithms in Engineering Systems: Innovations and Applications, 1995. GALESIA. First International Conference on (Conf. Publ. No. 414)*. Dipresentasikan pada Genetic Algorithms in Engineering Systems: Innovations and Applications, 1995.
7. Saad, M.S., Jamaluddin, H., dan Darus, I.Z.M., 2012. Implementation of PID controller tuning using differential evolution and genetic algorithms. *International Journal of Innovative Computing Information and Control*, **8**: 7761–7779.